

ارزیابی میزان تأثیر رنگ سنگ‌های گرانیت در رادیواکتیویتهای طبیعی آن‌ها

دکتر محمد باقر توکلی^۱، دکتر محمد رضا عبدی^۲، هادی نخزرنی مقدم^۳،
گلزاره حاجی علیانی^۴، سید علی موسوی^۵

مقاله پژوهشی

چکیده

مقدمه: محیط زندگی و مصالح به کار رفته در ساختار ساختمان‌های مسکونی دارای مقادیر مختلفی از عناصر رادیواکتیو می‌باشد. آگاهی از توزیع و سطح تشبعات در محیط برای ارزیابی تأثیرات پرتوزا در محیط زندگی انسان بسیار مهم است. در این مطالعه، میزان فعالیت هسته‌های پرتوزا در سنگ‌های گرانیت با توجه به نوع رنگ هر سنگ ارزیابی گردید.

روش‌ها: جهت تعیین پرتوزایی طبیعی سنگ‌های گرانیت، ۱۳ نوع از سنگ‌های گرانیتی مورد استفاده در شهر اصفهان انتخاب شد و پرتوزایی طبیعی نمونه‌ها به روش بینابنامی پرتوی گاما تعیین گردید. برای انجام کار نمونه‌برداری و کلیه مرافق کار، دستورالعمل آزمون بین‌المللی انرژی اتمی رعایت شد؛ به این ترتیب که شستشو ظروف نمونه‌برداری با آب مقطر و الكل انجام شد. سپس نمونه‌ها پودر شدند و در ظروف مارینلی بسته‌بندی و مهر و موم گردیدند. ظروف مارینلی قبل از طیف سنجی به مدت ۵ هفته برای به تعادل رسیدن دختر هسته‌های اورانیوم و توریوم موجود در نمونه‌ها نگهداری شدند. پس از آماده‌سازی نمونه‌ها، بیناب پرتوی گاما هر یک از آن‌ها به وسیله‌ی آشکارساز ژرمانیوم فوق خالص (High-purity germanium) یا HPGe (HPGe) به مدت ۱۲ ساعت جمع‌آوری گردید. بعد از آن هر بیناب مقیاس‌بندی انرژی شد. در نهایت فعالیت ویژه‌ی هسته‌های پرتوزایی موجود در هر نمونه به دست آمد.

یافته‌ها: اندازه‌گیری پرتوزایی طبیعی شامل اندازه‌گیری اکتیویتهای هسته‌های ^{238}U (اورانیوم ۲۳۸)، ^{232}Th (توریوم ۲۳۲) و ^{40}K (پتانسیم ۴۰) بر حسب بکرل به ازای هر کیلوگرم (Bq/Kg) Becquerel / kilogram یا Bq/Kg مقدار میانگین اکتیویتهای ویژه‌ی کمتر از MDA (Minimum detectable activity) برای سنگ‌های گرانیت سبز و بیشترین مقدار میانگین اکتیویتهای ویژه برای سنگ‌های گرانیت سفید بود.

نتیجه‌گیری: اکتیویتهای ویژه‌ی سنگ‌های گرانیتی که به رنگ سفید متمایل هستند، بیشترین مقادیر را برای هر سه هسته‌ی پرتوزا داشت. پس از آن سنگ‌های با رنگ قرمز قرار داشت و در نهایت کمترین مقدار اکتیویته برای هر سه هسته‌ی پرتوزا برای سنگ‌های سبز به دست آمد.

وازگان کلیدی: High-purity germanium، رنگ، سنگ گرانیت، طیفسنجی گاما، رادیونوکلئیدهای طبیعی

ارجاع: توکلی محمد باقر، عبدی محمد رضا، نخزرنی مقدم هادی، حاجی علیانی گلزاره، موسوی سید علی. ارزیابی میزان تأثیر رنگ سنگ‌های

گرانیت در رادیواکتیویتهای طبیعی آن‌ها. مجله دانشکده پزشکی اصفهان ۱۳۹۱؛ ۳۰ (۲۲۰): ۲۴۱۸-۲۴۱۲.

۱- استاد، گروه فیزیک و مهندسی پزشکی، دانشکده پزشکی، دانشگاه علوم پزشکی اصفهان، اصفهان، ایران

۲- استادیار، گروه فیزیک، دانشکده علوم، دانشگاه اصفهان، اصفهان، ایران

۳- کارشناس ارشد، گروه فیزیک و مهندسی پزشکی، دانشکده پزشکی، دانشگاه علوم پزشکی اصفهان، اصفهان، ایران

۴- کارشناسی ارشد، گروه مهندسی هسته‌ای، دانشکده علوم و فناوری‌های نوین، دانشگاه اصفهان، اصفهان، ایران

۵- کارشناس ارشد، گروه فیزیک، دانشکده علوم، دانشگاه اصفهان، اصفهان، ایران

نویسنده‌ی مسؤول: دکتر محمد باقر توکلی
Email: mbtavakoli@mui.ac.ir

۱- آسیاب کاری و الک کردن نمونه‌ها

آسیاب کاری و الک کردن نمونه‌ها موجب همگنی بیشتر هر یک از نمونه‌ها می‌شود. برای جلوگیری از آلودگی و اختلاط نمونه‌ها، ظرف‌های آسیاب و الک مورد استفاده توسط آب و الکل شسته و خشک شدند. پس از آسیاب کاری، نمونه‌ها خرد و به پودر تبدیل شدند. به منظور همگنی اندازه، ذرات کوچک‌تر از یک میلی‌متر (به وسیله‌ی الک با مش ۱۸) حفظ گردیدند و اندازه‌های بزرگ حذف شدند. دو تا سه بار آسیاب کاری برای تبدیل نمونه‌ی انتخابی به پودری که از الک مش ۱۸ رد شود، لازم بود.

۲- خشک کردن نمونه‌ها

همراه نمونه‌های برداشته شده مقادیری آب و رطوبت وجود دارد. به این دلیل نمونه‌ها پس از آن که به پودر تبدیل شدند، در دستگاه آون آزمایشگاه اصفهان به مدت ۲۴ ساعت در دمای ۱۰۰ درجه‌ی سانتی‌گراد قرار گرفتند تا به طور کامل عاری از رطوبت شوند. پس از آسیاب کاری هر نمونه برای جلوگیری از آلودگی و اختلاط نمونه‌ها، ظرف‌های آسیاب و الک مورد استفاده توسط آب و الکل شسته و خشک شدند.

۳- بسته‌بندی نمونه‌ها

نمونه‌ها پودر شدند و در بسته‌بندی استاندار ظروف مارینلی قرار گرفتند و سپس تحت فشار مهر و موم شدند. در این حالت وزن نمونه اندازه‌گیری شد. نمونه‌ی الک شده‌ی خشک، درون ظرف مارینلی خشکی که پیش از آن با آب و الکل شسته شده بود، به طوری که نمونه به طور یکنواخت ظرف را پر کند و سطح نمونه‌ی درون ظرف صاف و افقی باشد، ریخته شد. سپس یک ورقه‌ی آلومینیوم بر سطح نمونه

مقدمه

تشعشعات زمینه در نتیجه‌ی وجود هسته‌های ناپایدار موجود در مقادیر مختلف خاک، مصالح ساختمانی، آب، سنگ‌ها و اتمسفر می‌باشند. این رادیونوکلئیدها از طرق مختلف می‌توانند انسان را مورد تابش قرار دهند. با توجه به این که در ایران، حدود ۹۰ تا ۹۴ درصد پرتوگیری انسان از منابع طبیعی می‌باشد (۱-۲)، مهم‌ترین علت تابش رادیواکتیو سنگ‌های گرانیت از طریق واپاشی عناصر اورانیوم، توریم و پتاسیم ایجاد می‌شود. این عناصر به طور طبیعی در سنگ‌های گرانیت وجود دارند (۳-۴). رادون و توریوم از محصولات واپاشی پرتوزای اورانیوم و توریوم است که در سنگ‌های گرانیت وجود دارد. هدف از این مطالعه، ارزیابی تأثیر رنگ در رادیواکتیویته طبیعی سنگ‌های گرانیت بود.

روش‌ها

جهت تعیین پرتوزایی طبیعی سنگ‌های گرانیت، انواع سنگ‌های گرانیتی مورد دزیمتري قرار گرفت. تعداد کل انواع سنگ‌های گرانیتی مورد استفاده در شهر اصفهان با مراجعه‌ی حضوری به تولیدی‌های سنگ، ۱۳ نوع بود. این نمونه‌گیری به صورتی انجام گرفت که کلیه‌ی اقلام سنگ‌های مصرفی را پوشش دهد. برای انجام کار نمونه‌برداری و کلیه‌ی مراحل کار، دستورالعمل آزانس بین‌المللی انرژی اتمی رعایت شد (۵). هر نمونه قبل از واکافت به آماده‌سازی خاصی احتیاج دارد که بسته به نوع و روش واکافت آن متفاوت است. مراحل آماده‌سازی نمونه‌های گرانیت جهت واکافت به روش بینابنمایی پرتوی گاما به شرح زیر انجام شد (۶-۹):

.(10-11) دزیمتری گردید (High-purity germanium) در تمام مراحل نمونه برداری و اندازه گیری دستورالعملی که توسط آذانس بین المللی انرژی اتمی برای نمونه برداری های محیطی ارائه شده است، رعایت گردید (5). آشکارساز این سامانه، آشکارساز ژرمانیومی فوق خالص هم محور نوع n (n Type coaxial HPGe) بود.

یافته‌ها

غلظت پرتوزایی ^{238}U , ^{232}Th و ^{40}K بر حسب بکرل به ازای هر کیلوگرم (Becquerel/kilogram) Becquerel/kilogram (Bq/Kg) برای نمونه های بررسی شده در جدول ۱ ارائه شده است.

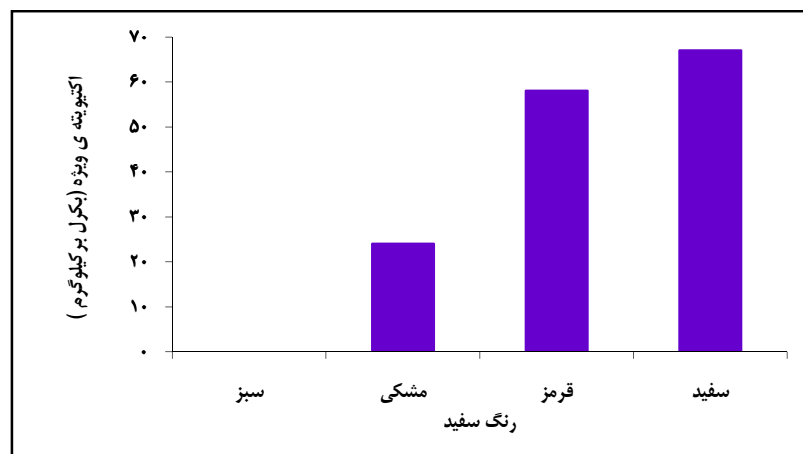
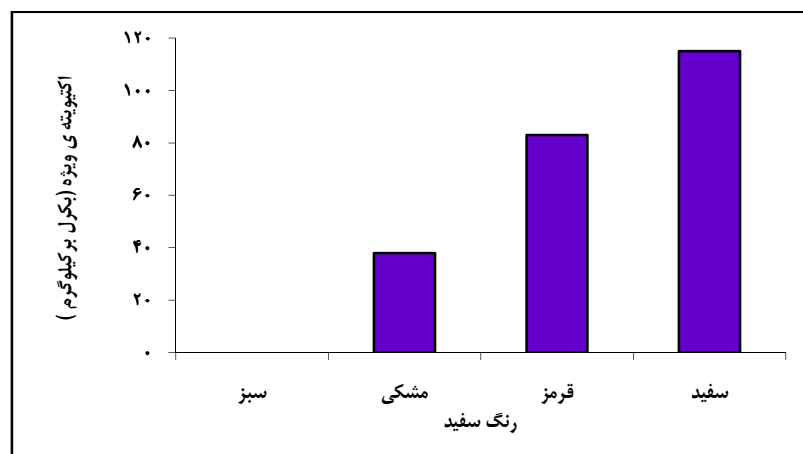
در درون ظرف قرار داده شد و لایه ای از پارافین مذاب به ضخامت ۵ میلی متر برای جلوگیری از فرار گاز رادون حاصل از واپاشی ویژه های سنگین پرتوزا از درون نمونه به بیرون، بر روی ورقه ای آلومینیوم ریخته شد (ورقه ای آلومینیوم مانع از نفوذ پارافین مذاب به عمق نمونه می شود). پس از منجمد شدن پارافین درب ظرف بسته شد و برای اطمینان از عدم خروج گاز رادون، توسط چسب سیلیکونی اطراف درب ظرف درز گیری گردید. قبل از شمارش به منظور حصول اطمینان از تعادل بین ذرات دختر و مادر، نمونه ها برای مدت پنج هفته نگهداری شدند. ظروف مورد استفاده که در داخل آنها گرانیت خالص پودر شده بود، توسط آشکارساز HPGe

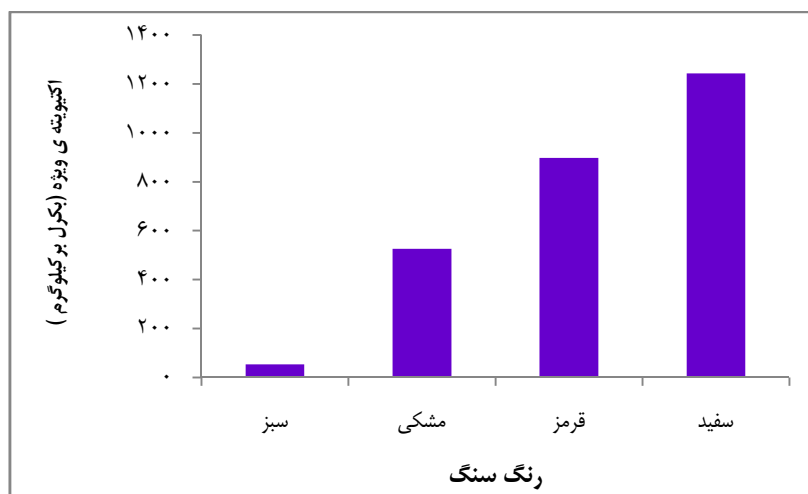
جدول ۱. غلظت پرتوزایی ^{238}U , ^{232}Th , ^{40}K بر حسب بکرل به ازای هر کیلوگرم برای نمونه های بررسی شده

^{40}K	^{232}Th	^{238}U	کد نمونه
انحراف معیار \pm میانگین	انحراف معیار \pm میانگین	انحراف معیار \pm میانگین	
۹۸۲/۱۸ \pm ۰/۴۳	۶۶/۹۴ \pm ۱/۴۱	۴۵/۸ \pm ۱/۲۰	مشکی نوع ۱
۶۹/۴۶ \pm ۱/۰۰	۱/۶۳ \pm ۵/۴۲	۲/۸۲ \pm ۲/۶۷	مشکی نوع ۲
۸۱۴/۳۸ \pm ۱/۴۱	۶۰/۱۳ \pm ۴/۱۱	۴۷/۳۹ \pm ۲/۲۰	قرمز نوع ۱
۱۰۰۱/۷۸ \pm ۷/۲۰	۹۵/۸۲ \pm ۸/۵۹	۴۸/۶۹ \pm ۶/۰۷	قرمز نوع ۲
۳۱۵/۳۵ \pm ۱/۱۲	۲۶/۲۶ \pm ۳/۹۹	۳۰/۳۲ \pm ۱/۸۴	قرمز نوع ۳
۱۴۵۷/۹۷ \pm ۱/۴۲	۱۵۴/۸۵ \pm ۲/۵۶	۱۰۲/۶۶ \pm ۱/۷۶	قرمز نوع ۴
۱۴۰۰/۸۶ \pm ۰/۷۴	۱۳۴/۰۷ \pm ۱/۳۸	۵۷/۷۶ \pm ۱/۲۰	سفید نوع ۱
۸۱۳/۴۸ \pm ۰/۰۱	۹۴/۳۳ \pm ۰/۰۰۴	۸۷/۰۸ \pm ۰/۸۰	سفید نوع ۲
۱۱۱۹/۸۷ \pm ۱/۲۴	۸۳/۴۸ \pm ۳/۵۵	۵۴/۸۸ \pm ۲/۰۶	سفید نوع ۳
۱۴۴۵/۱۳ \pm ۱/۲۵	۱۰۶/۸۳ \pm ۳/۵۲	۳۵/۶۴ \pm ۳/۴۳	سفید نوع ۴
۱۵۹۰/۶۵ \pm ۹/۶۱	۱۸۰/۲۳ \pm ۷/۲۳	۹۵/۶۹ \pm ۱/۹۴	سفید نوع ۵
۱۰۸۹/۷۱ \pm ۲/۱۲	۸۱/۲۵ \pm ۳/۳۱	۶۳/۲۸ \pm ۱/۴۸	سفید نوع ۶
۵۳/۱۶ \pm ۱/۱۰	< MDA	< MDA	سبز نوع ۱

اکتیویته‌ی ویژه ^{232}Th برای هر کدام از نمونه‌ها به دست آمد. میانگین اکتیویته ویژه‌ی هر رنگ از سنگ‌ها در شکل شماره ۲ آورده شده است. بیشترین این مقدار برای سنگ‌های گرانیت سفید با متوسط اکتیویته‌ی $113/36$ بکرل بر کیلوگرم، برای سنگ‌های گرانیت قرمز متوسط اکتیویته‌ی $84/31$ بکرل بر کیلوگرم، برای سنگ‌های گرانیت مشکی متوسط اکتیویته‌ی $34/28$ بکرل بر کیلوگرم و کمترین مقدار با متوسط اکتیویته‌ی کمتر از MDA برای سنگ‌های گرانیت سبز حاصل شد.

با میانگین‌گیری بر روی اکتیویته‌ی ویژه هر کدام از نمونه‌ها، اکتیویته‌ی ویژه ^{238}U ، برای مجموعه‌ی سنگ‌هایی با همان نوع رنگ حاصل شد که این اعداد در شکل ۱ آورده شده است. بیشترین این مقدار برای سنگ‌های گرانیت سفید با متوسط اکتیویته‌ی $65/72$ بکرل بر کیلوگرم بود. متوسط اکتیویته برای سنگ‌های گرانیت قرمز $57/26$ بکرل بر کیلوگرم و برای سنگ‌های گرانیت مشکی $24/31$ بکرل بر کیلوگرم به دست آمد. کمترین مقدار با متوسط اکتیویته‌ی کمتر از MDA برای سنگ‌های گرانیت سبز حاصل شد.

شکل ۱. میانگین اکتیویته‌ی ویژه ^{238}U بر حسب بکرل بر کیلوگرمشکل ۲. میانگین اکتیویته‌ی ویژه ^{232}Th بر حسب بکرل بر کیلوگرم

شکل ۳ میانگین اکتیویته‌ی ویژه K^{40} بر حسب بکرل بر کیلوگرم

متوسط بیشترین پرتوزایی مربوط به سنگ گرانیت سفید بود. همچنین سنگ گرانیت قرمز رتبه‌ی دوم و سنگ گرانیت سبز کمترین پرتوزایی را داشت.

این نتایج نشان می‌دهد که اکتیویته‌ی ویژه‌ی سنگ‌های گرانیتی که به رنگ سفید متمایل هستند، بیشترین مقادیر را برای هر سه نوکلئید داشت. همچنین اکتیویته‌ی ویژه سنگ‌هایی با رنگ قرمز پس از سنگ‌های سفید قرار داشت. در نهایت کمترین مقدار اکتیویته‌ی برای هر سه هسته‌ی پرتوزا برای سنگ‌های سبز به دست آمد.

با توجه به نتایج به دست آمده می‌توان در ساخت ساختمان‌ها به این موارد دقت کرد.

میانگین اکتیویته‌ی ویژه K^{40} برای هر کدام از سنگ‌های سنگ‌ها به دست آمد (شکل ۳). بیشترین این مقدار برای سنگ‌های گرانیت سفید با متوسط اکتیویته‌ی $1243/28$ بکرل بر کیلوگرم، برای سنگ‌های گرانیت قرمز با متوسط اکتیویته‌ی $897/37$ بکرل بر کیلوگرم و برای سنگ‌های گرانیت مشکی با متوسط اکتیویته‌ی $525/82$ بکرل بر کیلوگرم و کمترین مقدار با متوسط اکتیویته‌ی $53/16$ بکرل بر کیلوگرم برای سنگ‌های گرانیت سبز حاصل شد.

بحث

همان گونه که نتایج نشان داد برای هر سه نوکلئید مورد بررسی در نمونه سنگ‌های بررسی شده به طور

References

- Azarm T, Harirchian M, Bahman Ziari F, Raee H, Mehrabi S, Haghi S, et al. Epidemiologic distribution of cancers in a 5-year study: Retrospective study in Isfahan, 1990-95. Pajouhesh Dar Pezeshki 2000; 5(2): 109-12. [In Persian].
- Hollins M. Measuring and controlling radiation. In: Hollins M, editor. Medical physics. London, UK; McMillan: 1990. p. 145-58.
- Tilaki R, Yazdanifar A. Beta and gamma radiation dosimetry in Granite and marble stones In Sari in 2008. Proceedings of the 12th National Conference on Environmental Health; 2009 Nov; Tehran, Iran.
- Faure G. Principles of isotope geology. 2nd ed. New York, NY: Wiley; 1986.
- International Atomic Energy Agency. Collection and preparation of bottom sediment

- samples for analysis of radionuclides and trace elements. Vienna, Austria: Renouf Publishing Company; 2003.
6. Abdi MR, Kamali M, Vaezifar S. Distribution of radioactive pollution of ^{238}U , ^{232}Th , ^{40}K and ^{137}Cs in northwestern coasts of Persian Gulf, Iran. *Mar Pollut Bull* 2008; 56(4): 751-7.
 7. Akhtar N, Tufail M, Ashraf M, Mohsin Iqbal M. Measurement of environmental radioactivity for estimation of radiation exposure from saline soil of Lahore, Pakistan. *Radiation Measurements* 2005; 39(1): 11-4.
 8. Sadremontaz A, Moghaddam MV, Khoshbinfar S, Moghaddasi A. A comparative study of field gamma-ray spectrometry by NaI (Tl) and HPGe detectors in the south Caspian region. *Caspian J Env Sci* 2010; 8(2): 203-10.
 9. Celik N, Cevik U, Celik A, Koz B. Natural and artificial radioactivity measurements in Eastern Black Sea region of Turkey. *J Hazard Mater* 2009; 162(1): 146-53.
 10. Arafa W. Specific activity and hazards of granite samples collected from the Eastern Desert of Egypt. *J Environ Radioact* 2004; 75(3): 315-27.
 11. Tzortzis M, Tsertos H, Christofides S, Christodoulides G. Gamma radiation measurements and dose rates in commercially-used natural tiling rocks (granites). *J Environ Radioact* 2003; 70(3): 223-35.

The Effect of the Color of Granite on its Natural Radioactivity

Mohammad Bagher Tavakoli PhD¹, Mohammad Reza Abdi PhD²,
Hadi Nakhzari Moghadam MSc³, Golzadeh Hajialiani MSc⁴, Seyyed Ali Mousavi, MSc⁵

Original Article

Abstract

Background: Living environment and applied building materials in dwellings contain various amounts of radioactive elements. Knowing about the distribution and the level of radiation in the environment is very important to evaluate the effects of radiation on the human. In this study, the level of radioactive nuclei in the granite was assessed according to the color of the stone.

Methods: 13 different types of granite used in city of Isfahan (Iran) dwellings were selected, turned to powder, packaged in Marinli dishes and sealed accordingly. The International Atomic Energy Commission instructions were applied for sampling and all other steps of the survey. The dishes were kept for 5 weeks before spectroscopy, to obtain equivalent amount of uranium and thorium nuclides. Then, the gamma-spectroscopy of each sample was collected by HPGe (high purity germanium detector) for 12 hours and categorized based on its energy level. Finally, the special activity of the radiating nuclides in each sample was obtained. Measuring natural radioactivity, including nucleus radioactivity of ^{238}U , ^{232}Th , ^{40}K based on Bq/kg unit, was done. The specific average radioactivity concentration of each radiating nuclei was evaluated, too.

Findings: The reported special activities for ^{238}U were less than malondialdehydc (MDA) level for green, 65.72 Bq/Kg for white, 57.26 Bq/kg for red, and 24.31 Bq/kg for black granites. The measured special activities for ^{232}Th were 113.36, 84.31, and 34.28 Bq/kg, and less than MDA level for white, red, black and green granites, respectively. Besides, the measured special activities for ^{40}K were 53.16, 525.82, 897.37, and 1243.28 Bq/kg for green, black, red, and white granites, respectively.

Conclusion: White granite sample has the highest special activity for the three nuclides, ^{238}U , ^{232}Th , and ^{40}K . Also, the lowest special activity for these nuclides was found in green stones and the red granite had an intermediate activity.

Keywords: High-purity germanium detector (HPGe), Color, Granite, Gamma spectroscopy, Natural radionuclides

Citation: Tavakoli MB, Abdi MR, Nakhzari Moghadam H, Hajialiani G, Mousavi SA. **The Effect of the Color of Granite on its Natural Radioactivity**. J Isfahan Med Sch 2013; 30(220): 2412-8

1- Professor, Department of Physics and Medical Engineering, School of Medicine, Isfahan University of Medical Sciences, Isfahan, Iran

2- Assistant Professor, Department of Physics, School of Science, University of Isfahan, Isfahan, Iran

3- Department of Physics and Medical Engineering, School of Medicine, Isfahan University of Medical Sciences, Isfahan, Iran

4- Department of Nuclear Engineering, School of Modern Sciences and Technologies, University of Isfahan, Isfahan, Iran

5- Department of Physics, School of Science, University of Isfahan, Isfahan, Iran

Corresponding Author: Mohammad Bagher Tavakoli PhD, Email: mbtavakoli@mui.ac.ir